

文章编号: 1004-0609(2006)06-1120-05

# 淬冷法研究 NbCl<sub>5</sub>-NaCl 和 NbCl<sub>5</sub>-KCl 二元系的热力学性质<sup>①</sup>

李军丽, 杨冬梅, 曾繁武, 王之昌

(东北大学 理学院, 沈阳 110004)

**摘要:** 用高温平衡-淬冷方法, 研究了 NaCl-NbCl<sub>5</sub> 和 KCl-NbCl<sub>5</sub> 二元系的热力学性质。结果表明: 在 580~680 K 和 0.06~0.12 MPa 范围内, NaNbCl<sub>6</sub>(g) 和 KNbCl<sub>6</sub>(g) 分别是惟一产物, 且 NaNbCl<sub>6</sub>(g) 比 KNbCl<sub>6</sub>(g) 稳定。反应 NbCl<sub>5</sub>(g)+NaCl(s)=NaNbCl<sub>6</sub>(g) 的热力学函数是  $\Delta H_m^\ominus = (-28.3 \pm 1.5) \text{ kJ/mol}$  和  $\Delta S_m^\ominus = (-73.0 \pm 2.0) \text{ J/(mol} \cdot \text{K)}$ ; 反应 NbCl<sub>5</sub>(g)+KCl(s)=KNbCl<sub>6</sub>(g) 的热力学函数是  $\Delta H_m^\ominus = (-37.6 \pm 1.5) \text{ kJ/mol}$  和  $\Delta S_m^\ominus = (-93.7 \pm 2.0) \text{ J/(mol} \cdot \text{K})$ 。

**关键词:** NaNbCl<sub>6</sub>; KNbCl<sub>6</sub>; NbCl<sub>5</sub>; NaCl; KCl; 气态配合物; 淬冷法

中图分类号: O 642

文献标识码: A

## Thermodynamic properties of NbCl<sub>5</sub>-NaCl and NbCl<sub>5</sub>-KCl binary systems by quenching experiments

LI Jun-li, YANG Dong-mei, ZENG Fan-wu, WANG Zhi-chang

(School of Sciences, Northeastern University, Shenyang 110004, China)

**Abstract:** Thermodynamic properties of NaCl-NbCl<sub>5</sub> and KCl-NbCl<sub>5</sub> binary systems were studied by high temperature equilibrated quenching experiments. The results show that NaNbCl<sub>6</sub>(g) and KNbCl<sub>6</sub>(g) complexes are respectively their sole predominant vapour complexes roughly in the ranges of 580~680 K and 0.06~0.12 MPa, and that NaNbCl<sub>6</sub>(g) is more stable than KNbCl<sub>6</sub>(g). The thermodynamic properties are  $\Delta H_m^\ominus = (-28.3 \pm 1.5) \text{ kJ/mol}$  and  $\Delta S_m^\ominus = (-73.0 \pm 2.0) \text{ J/(mol} \cdot \text{K})$  for the reaction NbCl<sub>5</sub>(g)+NaCl(s)=NaNbCl<sub>6</sub>(g), and  $\Delta H_m^\ominus = (-37.6 \pm 1.5) \text{ kJ/mol}$  and  $\Delta S_m^\ominus = (-93.7 \pm 2.0) \text{ J/(mol} \cdot \text{K})$  for the reaction NbCl<sub>5</sub>(g)+KCl(s)=KNbCl<sub>6</sub>(g).

**Key words:** NaNbCl<sub>6</sub>; KNbCl<sub>6</sub>; NbCl<sub>5</sub>; NaCl; KCl; vapour complex; quenching method

在自然界中, 锑总是和其它金属元素在矿物中共生, 其中, 具有工业价值的矿物有铌铁矿等。我国的白云鄂博特大型共生矿中, 不仅富含铁和稀土元素, 也有大量铌。氯化法是从矿物中提取和分离铌的重要方法之一<sup>[1-4]</sup>。在氯化反应中, 矿物中的铌、铁等元素都生成气态产物, 随后的铌-铁和铌-钽等分离工作通常在盐浴中进行。因此, NbCl<sub>5</sub>-NaCl 和 NbCl<sub>5</sub>-KCl 二元系的热力学性质十分重要。

Sadoway 和 Flengas 等<sup>[5, 6]</sup> 曾经用蒸气压等方法研究 NbCl<sub>5</sub>-NaCl 和 NbCl<sub>5</sub>-KCl 二元系中固态和液态配合物 NaNbCl<sub>6</sub>(s, l) 和 KNbCl<sub>6</sub>(s, l) 的热力学性质; 另一方面, Schäfer<sup>[7]</sup> 曾经指出 NbCl<sub>5</sub>-NaCl 二元系中生成气态配合物的可能性; 但是, 文献中没有 NbCl<sub>5</sub>-NaCl 和 NbCl<sub>5</sub>-KCl 二元系中气态配合物的热力学性质的报道。

本文作者<sup>[8-15]</sup> 曾经用高温平衡-淬冷法研究 LnCl<sub>3</sub>-AlCl<sub>3</sub> (Ln=稀土元素) 等二元系的热力学性

① 基金项目: 国家自然科学基金资助项目(50274027)

收稿日期: 2005-11-10; 修订日期: 2006-03-06

通讯作者: 李军丽; 电话: 13504051630; E-mail: lijunli78@163.com

质。本文报道  $\text{NbCl}_5\text{-NaCl}$  和  $\text{NbCl}_5\text{-KCl}$  二元系的热力学性质的高温平衡-淬冷法实验研究结果。

## 1 实验

### 1.1 实验材料

$\text{NbCl}_5$  纯度是 99.9% (质量分数) (美国 Aldrich 公司)。 $\text{NaCl}$ 、 $\text{KCl}$  为分析纯试剂, 用二次蒸馏水两次重结晶以后, 经加热真空干燥处理。实验用反应瓶由 Pyrex 玻璃制作, 如图 1 所示, 体积为 50~60 mL。

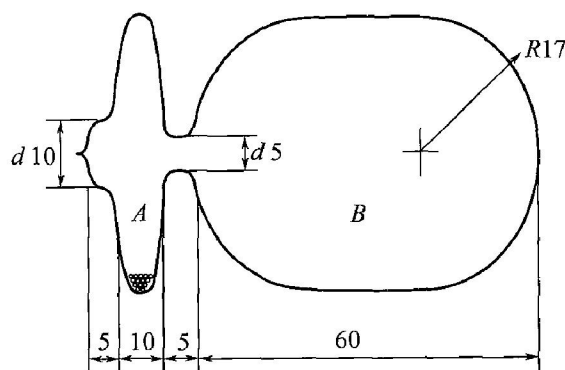


图 1 反应瓶示意图

Fig. 1 Schematic diagram of ampoule( mm)

### 1.2 淬冷实验

采用类似于文献[8~15]中的高温平衡-淬冷实验方法。首先, 在氩气手套箱内, 称取适量的  $\text{NaCl}$  和  $\text{NbCl}_5$  或  $\text{KCl}$  和  $\text{NbCl}_5$ , 在玛瑙研钵中混匀研磨, 加入反应瓶 A 端(图 1); 经反复抽真空和纯氩气洗净后, 将反应瓶抽空密封。然后, 将 4 个装有不同数量的  $\text{NbCl}_5$  和  $\text{NaCl}$ (或  $\text{NbCl}_5$  和  $\text{KCl}$ ) 的反应瓶, 置于反应炉恒温区的石墨容器(图 2)内, 因此, 每一个二元系在同一个反应温度有 4 个平衡压力不同的试样。通过预备实验, 考察了反应时间对反应平衡常数的影响。结果表明: 反应在 5 h 内达到平衡(反应 5 h 后, 平衡常数不随时间的增加而改变), 因此, 每一个反应的实际平衡时间取为 6 h。每次反应温度恒定范围不超过  $\pm 2$  K。达到平衡后, 迅速将石墨容器从反应炉中取出, 并立即在每个反应瓶上盖上潮湿的石棉布, 并用冷水淋洗, 使气相平衡物迅速、均匀地沉积在反应瓶内壁。最后, 用化学分析方法测定反应瓶 B 端(图 1)沉积物中的离子  $\text{Nb}^{5+}$  和  $\text{Na}^+$  或离子  $\text{Nb}^{5+}$  和  $\text{K}^+$  的摩尔数, 并用蒸馏水滴定的方法测得反应瓶 B 端的体积。

相图<sup>[16]</sup>显示:  $\text{NaCl}\text{-}\text{NbCl}_5$  二元系在温度  $T \geq$

703 K 时和  $\text{KCl}\text{-}\text{NbCl}_5$  二元系在温度  $T \geq 638$  K 时, 液、固相有可能同时存在, 使组元活度无法确定。此外, 据文献[6]报道, 固态配合物  $\text{NaNbCl}_6$  在 518 K 和 572 K 时分别有  $\alpha \rightarrow \beta$  相变和  $\beta \rightarrow \gamma$  相变, 固态配合物  $\text{KNbCl}_6$  在 572 K 有  $\alpha \rightarrow \beta$  相变。因此, 本文选择  $\text{NaCl}\text{-}\text{NbCl}_5$  二元系的实验在 588~673 K 范围内进行,  $\text{KCl}\text{-}\text{NbCl}_5$  二元系的实验在 583~628 K 范围内进行, 此时  $\text{NbCl}_5$  全部为气态,  $\text{NaCl}$ 、 $\text{KCl}$  为纯固态, 活度都等于 1; 此外, 固态配合物  $\text{NaNbCl}_6$  和  $\text{KNbCl}_6$  没有相变(尽管后者对于本实验并非决定性因素)。此外, 当平衡压力大于 0.25 MPa 时, 反应瓶淬冷时易爆裂; 故选择本实验的压力范围为 0.06~0.12 MPa。

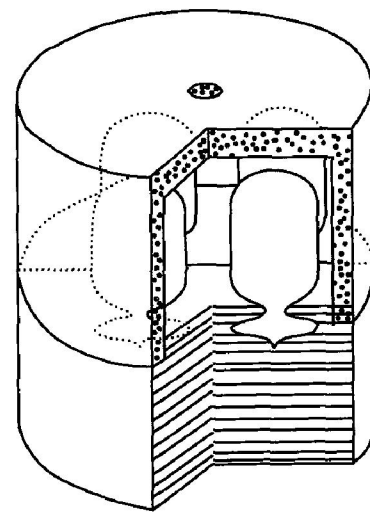


图 2 石墨容器示意图

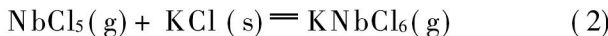
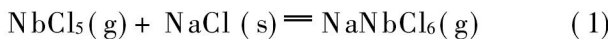
Fig. 2 Schematic diagram of graphite container

### 1.3 化学分析

反应瓶 B 端沉积物中  $\text{Nb}^{5+}$  的含量用氯代碘酚 S 分光光度法测定,  $\text{Na}^+$  和  $\text{K}^+$  的含量用原子吸收分光光度法测得。

## 2 结果与讨论

在本实验温度范围内,  $\text{NaCl}$  和  $\text{KCl}$  为不挥发的固态。但是, 本实验发现在反应瓶 B 端沉积物中存在  $\text{Na}^+$  和  $\text{K}^+$ , 因此, 类似于文献[7], 可以确定有气态配合物  $\text{Na}_x\text{NbCl}_{x+5}(g)$  和  $\text{K}_x\text{NbCl}_{x+5}(g)$  的生成。由于文献[5, 6]中只报道 1:1型固态和液态配合物的存在, 于是可以合理地假定, 本实验中存在于反应瓶 B 端沉积物中的  $\text{Na}^+$  和  $\text{K}^+$ , 全部来源于下述反应生成的气态配合物  $\text{NaNbCl}_6$  和  $\text{KNbCl}_6$ :



反应平衡常数为

$$K_p = \frac{p_c/p^\ominus}{p(\text{NbCl}_5)/p^\ominus} \quad (3)$$

因此

$$\ln(p_c/p^\ominus) = \ln K_p + \ln[p(\text{NbCl}_5)/p^\ominus] \quad (4)$$

式中  $p_c$  和  $p(\text{NbCl}_5)$  分别表示气态配合物  $\text{MNbCl}_6(\text{g})$  ( $\text{M} = \text{Na}, \text{K}$ ) 和  $\text{NbCl}_5(\text{g})$  的平衡分压,  $p^\ominus = 0.100 \text{ MPa}$ 。

令  $x_c$  和  $x(\text{NbCl}_5)$  分别表示反应瓶 B 端沉积物中  $\text{MNbCl}_6(\text{g})$  和  $\text{NbCl}_5(\text{g})$  的摩尔分数,  $x(\text{Nb}^{5+})$  表示沉积物中  $\text{Nb}^{5+}$  的总量,  $V$  为反应瓶 B 端的体积。有

$$p_c = x_c RT/V \quad (5)$$

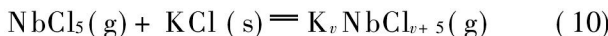
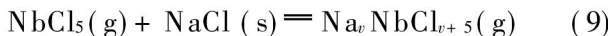
$$p(\text{NbCl}_5) = x(\text{NbCl}_5) RT/V \quad (6)$$

$$x(\text{Nb}^{5+}) = x(\text{NbCl}_5) + x_c \quad (7)$$

$$x_M = x_c \quad (8)$$

于是, 由  $\text{Na}^+$ 、 $\text{K}^+$  和  $\text{Nb}^{5+}$  的化学分析结果, 通过上述各关系式, 可以求得每一温度下各样品的  $p_c$ 、 $p(\text{NbCl}_5)$  和  $K_p$  值。在此情况下, 由式(3)~(8) 计算出的同一体系的  $\ln(p_c/p^\ominus) - \ln[p(\text{NbCl}_5)/p^\ominus]$  关系和  $\ln K_p - 1/T$  关系都应是直线。

其次, 令  $c(v)$  表示气态配合物  $\text{M}_v \text{NbCl}_{v+5}$ , 如果不仅有  $\text{MNbCl}_6$  而且有  $\text{M}_2\text{NbCl}_7$ 、 $\text{M}_3\text{NbCl}_8$ , ……存在, 反应(1) 和(2) 应改写成



因此式(7) 和(8) 可分别改成:

$$x(\text{Nb}^{5+}) = x(\text{NbCl}_5) + x_{c(1)} + x_{c(2)} + x_{c(3)} + \dots \quad (11)$$

$$x_M = x_{c(1)} + \frac{1}{2} x_{c(2)} + \frac{1}{3} x_{c(3)} + \dots \quad (12)$$

在此情况下, 类似于文献[9~11] 中  $\text{LnAl}_3\text{Cl}_{12}$  和  $\text{LnAl}_4\text{Cl}_{16}$  ( $\text{Ln} = \text{La}$  和  $\text{Ce}$ ) 之间以及  $\text{Ln}'\text{Al}_2\text{Cl}_9$  和  $\text{Ln}'\text{Al}_3\text{Cl}_{12}$  ( $\text{Ln}' = \text{Dy}$  和  $\text{Ho}$ ) 之间不同的  $K_p$  值和  $\ln K_p - 1/T$  关系,  $\text{MNbCl}_6$ 、 $\text{M}_2\text{NbCl}_7$ 、 $\text{M}_3\text{NbCl}_8$ 、……之间也应有不同的  $\ln K_p - 1/T$  关系, 于是, 由  $\text{M}^+$  和  $\text{Nb}^{5+}$  的化学分析结果, 代入式(3)~(8), 计算出表观的  $\ln K_p - 1/T$  关系将呈现非线性。

图 3 和图 4 分别为  $\text{NbCl}_5\text{-NaCl}$  和  $\text{NbCl}_5\text{-KCl}$  二元系在 4 个反应温度下的  $\ln(p_c/p^\ominus) - \ln[p(\text{NbCl}_5)/p^\ominus]$  关系, 均得到斜率相同的直线。图 5 和图 6 分别显示了这两个二元系的  $R\ln K_p - 1/T$  也呈现线性关系, 从而进一步证实, 在本实验

条件下, 气态配合物  $\text{NaNbCl}_6$  和  $\text{KNbCl}_6$  确实分别是  $\text{NaCl}$  与  $\text{NbCl}_5$  之间和  $\text{KCl}$  与  $\text{NbCl}_5$  之间的惟一反应产物。图 5 和图 6 还显示, 同一温度下反应(1) 的热力学平衡常数大于反应(2), 即气态配合物  $\text{NaNbCl}_6$  比  $\text{KNbCl}_6$  稳定。

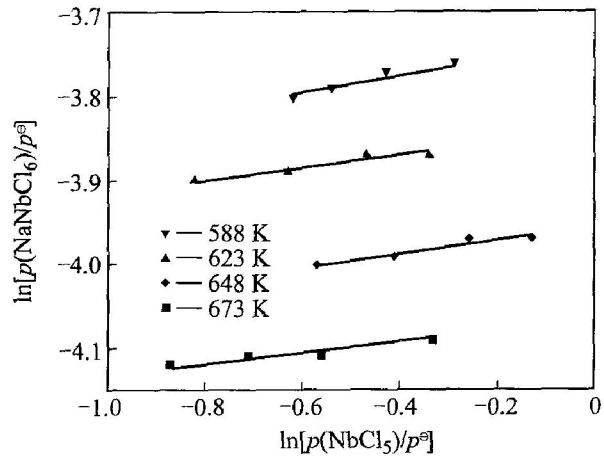


图 3  $\text{NaCl}\text{-NbCl}_5$  二元系  $\ln(p_c/p^\ominus)$  与  $\ln[p(\text{NbCl}_5)/p^\ominus]$  的关系

Fig. 3 Relationship between  $\ln(p_c/p^\ominus)$  and  $\ln[p(\text{NbCl}_5)/p^\ominus]$  for  $\text{NaCl}\text{-NbCl}_5$  binary system

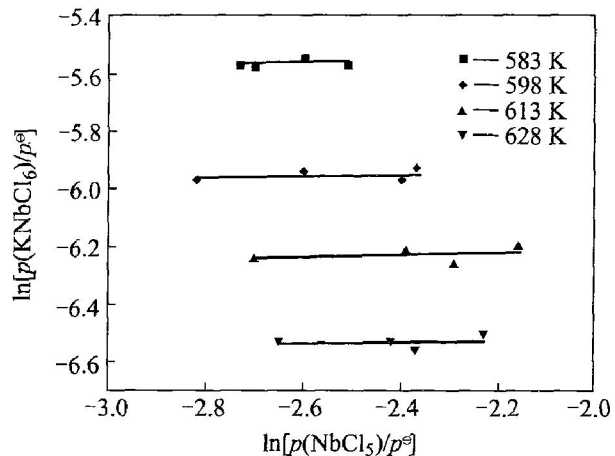


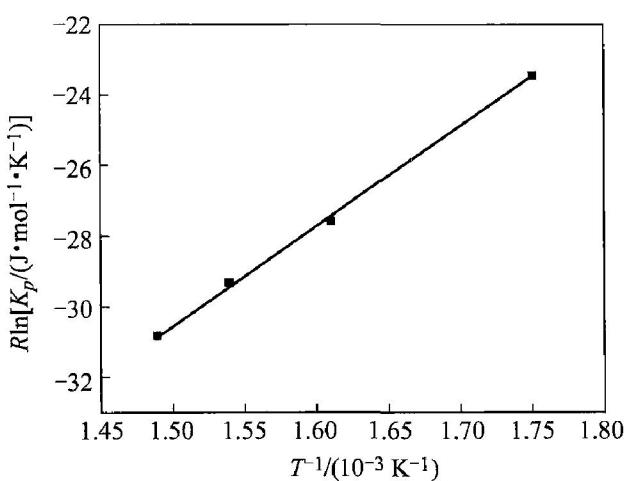
图 4  $\text{KCl}\text{-NbCl}_5$  二元系  $\ln(p_c/p^\ominus)$  与  $\ln[p(\text{NbCl}_5)/p^\ominus]$  的关系

Fig. 4 Relation between  $\ln(p_c/p^\ominus)$  and  $\ln[p(\text{NbCl}_5)/p^\ominus]$  for  $\text{KCl}\text{-NbCl}_5$  binary system

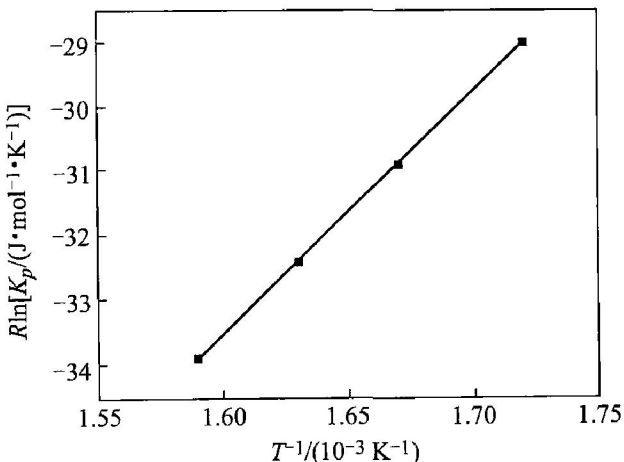
这两个体系的  $\ln K_p$  和  $1/T$  按式(13) 进行最小二乘法回归分析, 得到平均反应温度  $T_m = 633 \text{ K}$  时反应(1) 和  $T_m = 606 \text{ K}$  时反应(2) 的焓变与熵变:

$$R\ln K_p = -\frac{\Delta H^\ominus}{T} + \Delta S^\ominus \quad (13)$$

平衡反应(1) 的焓变与熵变分别为  $\Delta H_m^\ominus = -28.3 \text{ kJ/mol}$  和  $\Delta S_m^\ominus = -73.0 \text{ J/(mol} \cdot \text{K)}$ ; 平衡反应(2) 的焓变与熵变分别为  $\Delta H_m^\ominus = -37.6 \text{ kJ/mol}$

图 5 NaCl-NbCl<sub>5</sub> 二元系  $R \ln K_p$  与  $1/T$  的关系

**Fig. 5** Relationship between  $R \ln K_p$  and  $1/T$  for NaCl-NbCl<sub>5</sub> binary system

图 6 KCl-NbCl<sub>5</sub> 二元系  $R \ln K_p$  与  $1/T$  的关系

**Fig. 6** Relationship between  $R \ln K_p$  and  $1/T$  for KCl-NbCl<sub>5</sub> binary system

和  $\Delta S_m^\ominus = -93.7 \text{ J}/(\text{mol} \cdot \text{K})$ 。 $\Delta H_m^\ominus$  和  $\Delta S_m^\ominus$  的误差分别来源于统计误差和测定误差<sup>[8~15]</sup>, 其中, 后者包括反应温度误差(不大于  $\pm 2 \text{ K}$ )、反应瓶 B 端体积的分析误差(不大于  $\pm 0.5\%$ )、反应瓶 B 端沉积物中离子 Nb<sup>5+</sup>、Na<sup>+</sup> 和 K<sup>+</sup> 的化学分析误差(不大于  $\pm 5\%$ )等。所有这些因素加起来, 对  $\Delta S_m^\ominus$  产生的总误差不会超过  $\pm 2.0 \text{ kJ/mol}$ , 对  $\Delta H_m^\ominus$  产生的总误差不会超过  $\pm 1.5 \text{ J}/(\text{mol} \cdot \text{K})$ 。

### 3 结论

在温度 588~673 K 和压力 0.06~0.12 MPa 范围内, 反应 NbCl<sub>5</sub>(g)+NaCl(s)=NaNbCl<sub>6</sub>(g) 的产物是 NaNbCl<sub>6</sub>(g), 反应的热力学函数是  $\Delta H_m^\ominus(T_m, \text{NaNbCl}_6\text{(g)})=(-28.3\pm1.5) \text{ kJ/mol}$  和  $\Delta S_m^\ominus(T_m, \text{NaNbCl}_6\text{(g)})=(-93.7\pm2.0) \text{ J}/(\text{mol} \cdot \text{K})$ 。

$\text{NaNbCl}_6\text{(g)}=(-73.0\pm2.0) \text{ J}/(\text{mol} \cdot \text{K})$ 。在温度 583~628 K 和压力 0.06~0.12 MPa 范围内, 反应 NbCl<sub>5</sub>(g)+KCl(s)=KNbCl<sub>6</sub>(g) 的惟一产物是 KNbCl<sub>6</sub>(g), 反应的热力学函数是  $\Delta H_m^\ominus(T_m, \text{KNbCl}_6\text{(g)})=(-37.6\pm1.5) \text{ kJ/mol}$  和  $\Delta S_m^\ominus(T_m, \text{KNbCl}_6\text{(g)})=(-93.7\pm2.0) \text{ J}/(\text{mol} \cdot \text{K})$ 。

### REFERENCES

- [1] Gaballah J, Allain E, Djona M. Extraction of tantalum and niobium from tin slags by chlorination and carbo-chlorination[J]. Metall Mater Trans B, 1997, 28B: 359~369.
- [2] Sadoway D R, Flengas S N. A new process for the separation of tantalum from niobium[J]. Metall Trans B, 1980, 8B: 57~62.
- [3] Sato N, Nanjo M. Separation of niobium from ferroniobium by chlorination[J]. Metall Trans B, 1985, 16B: 639~644.
- [4] 有色金属提取冶金手册编辑委员会. 有色金属提取冶金手册[M]. 北京: 冶金工业出版社, 2002. 211.  
Editorial Board for the Handbook of Extractive Metallurgy of Nonferrous Metals. A Handbook for Extractive Metallurgy of Nonferrous Metals[M]. Beijing: Metallurgical Industry Press, 2002. 211.
- [5] Sadoway D R, Flengas S N. The synthesis and properties of the hexachloroniobates and hexachlorotantalates of Na, K, Rb, and Cs[J]. Can J Chem, 1978, 56: 2013~2018.
- [6] Sadoway D R, Flengas S N. Thermal properties of the alkali metal hexachloroniobate and hexachlorotantalate compounds by vapour measurements[J]. Can J Chem, 1978, 56: 2538~2545.
- [7] Schäfer H. Gaseous chloride complexes with halogen bridges—homo-complexes and hetero-complexes[J]. Angew Chem Int Ed Engl, 1976, 15: 713~727.
- [8] Wang Z C, Wang L S, Gao R J, et al. Thermodynamic study of the rare earth vapour complexes: ScAl<sub>2</sub>Cl<sub>9</sub> and YAl<sub>2</sub>Cl<sub>9</sub>[J]. J Chem Soc Faraday Trans, 1996, 92(11): 1887~1890.
- [9] Wang L S, Gao R J, Su Y, et al. Formation thermodynamics of the rare earth vapour complexes: DyAl<sub>3</sub>Cl<sub>12</sub> and DyAl<sub>2</sub>Cl<sub>9</sub>[J]. J Chem Thermodyn, 1996, 28: 1093~1102.
- [10] Wang Z C, Wang L S. Thermodynamic properties of the rare earth element vapor complexes LnAl<sub>3</sub>Cl<sub>12</sub> from Ln=La to Ln=Lu[J]. Inorg Chem, 1997, 36(8): 1536~1540.

- [11] Wang Z C, Wang L S. Thermodynamic properties of the rare earth element vapor complexes  $\text{LaAl}_4\text{Cl}_{15}$ ,  $\text{CeAl}_4\text{Cl}_{15}$  and  $\text{HoAl}_2\text{Cl}_9$  [J]. *J Alloys Comp*, 1998, 265: 153 - 159.
- [12] 于 锦, 杨冬梅, 蒋军辉, 等. 稀土气态配合物  $\text{NdAl}_3\text{Br}_{12}$  的热力学性质 [J]. 中国有色金属学报, 2004, 14(4): 702 - 705.  
YU Jin, YANG Dong-mei, JIANG Jun-hui, et al. Thermodynamic properties of the rare earth vapour complex  $\text{NdAl}_3\text{Br}_{12}$  [J]. *The Chinese Journal of Non-ferrous Metals*, 2004, 14(4): 702 - 705.
- [13] 于 锦, 李军丽, 杨冬梅, 等.  $\text{FeCl}_3$  和  $\text{Fe}_2\text{Cl}_6$  与  $\text{KCl}$  反应的热力学研究 [J]. 科学技术与工程, 2004, 4(12): 1003 - 1006.  
YU Jin, LI Jun-li, YANG Dong-mei, et al. Thermodynamic study on the reactions of  $\text{FeCl}_3$  and  $\text{Fe}_2\text{Cl}_6$  with  $\text{KCl}$  [J]. *Scientific Technology and Engineering*, 2004, 4(12): 1003 - 1006.
- [14] 于 锦, 王林山, 杨冬梅, 等. 稀土气态配合物  $\text{GdAl}_3\text{Br}_{12}$  的热力学研究 [J]. 中国稀土学报, 2004, 22(3): 326 - 330.  
YU Jin, WANG Lin-shan, YANG Dong-mei, et al. Thermodynamic study on the rare earth vapour complex  $\text{GdAl}_3\text{Br}_{12}$  [J]. *Journal of The Chinese Rare Earth Society*, 2004, 22(3): 326 - 330.
- [15] 于 锦, 杨冬梅, 王之昌. 稀土气态配合物  $\text{PrAl}_3\text{Br}_{12}$  的热力学性质 [J]. 东北大学学报(自然科学版), 2005, 26(2): 201 - 204.  
YU Jin, YANG Dong-mei, WANG Zhi-chang. Thermodynamic properties of the rare earth vapour complex  $\text{PrAl}_3\text{Br}_{12}$  [J]. *Journal of Northeastern University (Natural Science)*, 2005, 26(2): 201 - 204.
- [16] Levin E M, Robbins C R, McMurdie H F. *Phase Diagrams for Ceramists* [M]. Columbus: The American Ceramic Society, 1969. 342.

(编辑 陈爱华)